

Wiener Index of Complements of Line Graphs

Xiaohong Chen, Zhonghua Li, Xinhui An

College of Mathematics and System Science, Xinjiang University, Urumqi Xinjiang
Email: xhongchen0511@163.com, lizhonghua0868@126.com, xjaxh@163.com

Received: Mar. 5th, 2019; accepted: Mar. 20th, 2019; published: Mar. 27th, 2019

Abstract

Let G be a graph of size $q \geq 1$. The jump graph $J(G)$ of G is the complement of the line graph $L(G)$ of G . The Wiener index $W(G)$ of G is the sum of the distances between all pairs of vertices in G . In this paper, we determine the Wiener index of $J(G)$, where $J(G)$ is connected.

Keywords

Line Graphs, Jump Graph, Wiener Index

线图的补图的Wiener指标

陈小红, 李中华, 安新慧

新疆大学, 数学与系统科学学院, 新疆 乌鲁木齐
Email: xhongchen0511@163.com, lizhonghua0868@126.com, xjaxh@163.com

收稿日期: 2019年3月5日; 录用日期: 2019年3月20日; 发布日期: 2019年3月27日

摘要

令 G 是一个边数不小于1的图。我们称图 G 的线图 $L(G)$ 的补图为跳图, 记作 $J(G)$ 。图 G 的Wiener指标是图 G 中所有点对的距离之和。在本文中, 我们确定了图 $J(G)$ 的Wiener指标, 其中图 $J(G)$ 是连通的。

关键词

线图, 跳图, Wiener指标

Copyright © 2019 by author(s) and Hans Publishers Inc.
 This work is licensed under the Creative Commons Attribution International License (CC BY).
<http://creativecommons.org/licenses/by/4.0/>



Open Access

1. 引言

本篇文章中所有的图都限定为无向的简单图。相关的术语和符号可以参考文献[1]。设 $G = (V(G), E(G))$ 是一个简单图，其中 $V(G)$ 是图 G 的顶点集， $E(G)$ 是图 G 的边集，我们分别用 $v(G)$ 和 $e(G)$ 记作 $|V(G)|$ 和 $|E(G)|$ 的阶。通常我们用 P_n 表示阶为 n 的路。对于 $V(G)$ 中的每一个点 v ，用 $N_G(v)$ 表示与点 v 相邻的所有顶点的集合，称为 v 的邻点集。 $d_G(v) = |N_G(v)|$ 称为点 v 的度数。一般地，我们用 $H \subseteq G$ 表示 H 是图 G 的一个子图或者表示 H 同构于 G 中的一个子图。

在一个连通图 G 中，记 $d_G(u, v)$ 为 G 中任意两个点 u 和 v 之间的距离（两点之间最短路的长度）， $W(G)$ 为图 G 的 Wiener 指标，定义为 $W(G) = \frac{1}{2} \sum_{u, v \in V(G)} d_G(u, v)$ 。

这个概念最初是由 Harry Wiener 在文献[2]中提到的。从那时起，许多研究者对 Wiener 指标进行了广泛的研究。关于一些 Wiener 指标的化学应用和数学研究的调查可以参考文献[3] [4] 以及其中引用的参考文献。

$L(G)$ 为图 G 的线图，其中 $V(L(G)) = E(G)$ 并且对于任意两个点在 $L(G)$ 中相邻当且仅当这两个点对应的边在 G 中相邻。 \bar{G} 为图 G 的补图，其中 $V(\bar{G}) = V(G)$ 并且对于任意两个点 u 和 v 在 \bar{G} 中相邻当且仅当 u 和 v 在 G 中不相邻。在文献[5]中 Chartrand 等研究者称线图的补图为跳图，记作 $J(G)$ 并且给出了一些跳图是哈密顿的充分条件。吴和孟在文献[6]中给出了一些哈密顿跳图的结构。我们可以在文献[7] [8] [9] [10] 中查阅到线图的补图的更多结果。

在文献[5]中 Chartrand 等研究者证明了如果一个跳图 $J(G)$ 是连通的，则它的直径不超过 4。在文献[2]中吴和郭给出了跳图的直径 r 在 1 到 4 之间的原图 G 的结构。在本文中，我们将根据吴和郭的结果确定连通的跳图 $J(G)$ 的 Wiener 指标。

2. 主要内容

2.1. 预备知识

在文献[5]中 Chartrand 等人给出了下面的结果。

定理 2.1.1 [5] 如果 $J(G)$ 是连通的，则 $\text{diam}(J(G)) \leq 4$ 。

在文献[2]中吴和郭根据上面的结果给出了下面的定理。

定理 2.1.2 [2] 对于一个边数不小于 1 的图 G ，如果 $J(G)$ 是连通的，则：

1) $\text{diam}(J(G)) = 1$ 当且仅当 $\Delta(J(G)) = 1$ ；

2) $\text{diam}(J(G)) = 4$ 当且仅当：

a) G 包含一个子图 C_4^+ ， C_4^+ 是由给 $C_4(V(C_4) = \{u, v, w, x\})$ 中的点 u 加一个新的邻点，

b) 如果 G 中存在一条边关联 v 或 x ，则这条边必须是 vx 。此外，如果 $u, w \in E(G)$ ，则 $vx \in E(G)$ ，

c) G 中任意一条除 C_4 以外的边都与 u 关联；

3) $\text{diam}(J(G)) = 3$ 当且仅当：

- a) G 包含 P_5 ，
b) 对于 G 中任意一条不在 P_5 上的边必有一个端点在 P_5 的 2 度顶点上，
c) 同时 G 不满足(2)中的情况；
4) $diam(J(G))=2$ ， 其他。

在本文，我们主要根据上面对线图的补图的刻画来计算线图的补图的 Wiener 指标。

2.2. 直径小于等于 2

引理 2.2.1 如果 $diam(J(G)) \leq 2$ ， $e(G)=m$ ， $v(G)=n$ ， 则 $W(G)=n(n-1)-m$ 。

证明：因为 $diam(J(G)) \leq 2$ ， 所以对于任意的点 $u, v \in V(G)$ ， u 和 v 之间的距离为 1 或 2。因此

$$W(G)=m+2\left(\binom{n}{2}-m\right)=n(n-1)-m.$$

定理 2.2.2 对于一个边数为 m 的图 G ，如果 $diam(J(G)) \leq 2$ ， 则

$$W(J(G))=\frac{1}{2}m(m-3)+\frac{1}{2}\sum_{v \in V(G)}d_G^2(v)$$

证明：因为 $e(J(G))+e(L(G))=\binom{m}{2}$ ， 所以

$$e(J(G))=\binom{m}{2}-e(L(G))=\frac{1}{2}m(m-1)-e(L(G)),$$

$$\text{其中 } e(L(G))=\sum_{v \in V(G)}\binom{d_G(v)}{2}=\frac{1}{2}\sum_{v \in V(G)}(d_G^2(v)-d_G(v))=\frac{1}{2}\sum_{v \in V(G)}d_G^2(v)-m.$$

所以由引理 2.2.1 知：

$$\begin{aligned} W(J(G)) &= m(m-1)-e(J(G))=\frac{1}{2}m(m-1)+e(L(G)) \\ &= \frac{1}{2}m(m-3)+\frac{1}{2}\sum_{v \in V(G)}d_G^2(v) \end{aligned}.$$

2.3. 直径等于 3

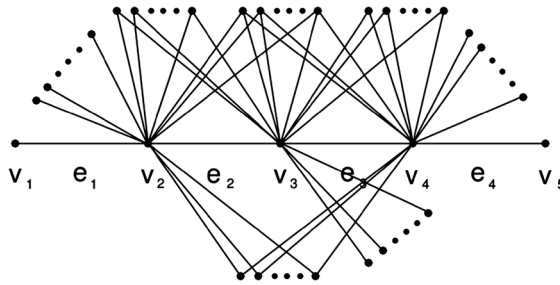
由定理 2.1.2 知：当 $diam(J(G))=3$ ， 则图 G 的结构如图 1 所示。

令 V' 和 E' 分别作为 P_5 的顶点集和边集，且 $V'=\{v_1, v_2, v_3, v_4, v_5\}$ ， $E'=\{e_1, e_2, e_3, e_4\}$ 。假设 $d_G(v_2)=d_2+2$ ， $d_G(v_3)=d_3+2$ ， $d_G(v_4)=d_4+2$ 并且 $|N_G(v_2) \cap N_G(v_3)|=n_1$ ， $|N_G(v_3) \cap N_G(v_4)|=n_2$ ， $|N_G(v_2) \cap N_G(v_4)|=n_3$ ， 显然 $n_1 \leq \min\{d_2, d_3\}$ ， $n_2 \leq \min\{d_3, d_4\}$ ， $n_3 \leq \min\{d_2, d_4\}$ 。

定理 2.3.1 对于一个边数为 m 的图 G ，如果 $diam(J(G))=3$ ， 则

$$\begin{aligned} W(J(G)) &= d_2^2+d_3^2+d_4^2+d_2d_3+d_3d_4+d_2d_4+5(m-4) \\ &\quad -(n_1^2+n_2^2+n_3^2)+2(n_1+n_2)+2n_3+10 \end{aligned},$$

其中 $m-4=d_2+d_3+d_4$ 且 $n_1+n_2+n_3 \leq m-4$ 。

**Figure 1.** P_5^+ **图 1.** P_5^+

证明: 首先 $W(J(P_5)) = W(P_4) = 10$ 。

如果 $G \neq P_5$, 对于任意边 $v_i x \in E(G)$ ($i = 2, 3, 4$) 且 $x \notin V'$, 则在 $J(G)$ 中 $v_i x$ 到 $v_1 v_2, v_2 v_3, v_3 v_4, v_4 v_5$ 的距离之和为 6。令 $S = V(G) \setminus V'$ 且 $M = E(G) \setminus E'$ 。有

$$W(J(G)) = W(J(P_5)) + 6(m-4) + W(M),$$

其中 $W(M) = \sum_{i,j \in \{2,3,4\}, x,y \in S} d_{J(G)}(v_i x, v_j y)$ 。

现在我们来计算 $W(M)$:

对于任意边 $v_2 x, v_3 x \in E(G)$ 和 $v_3 y, v_4 y \in E(G)$ 其中 $x, y \in S$, 则 $d_{J(G)}(v_2 x, v_3 x) = d_{J(G)}(v_3 y, v_4 y) = 2$ 。因此

$$W_{11} = \sum_{x \in S} d_{J(G)}(v_2 x, v_3 x) + \sum_{y \in S} d_{J(G)}(v_3 y, v_4 y) = 2(n_1 + n_2).$$

对于任意边 $v_2 x, v_4 x \in E(G)$ ($x \in S$), 则 $d_{J(G)}(v_2 x, v_4 x) = 3$ 。因此

$$W_{12} = \sum_{x \in S} d_{J(G)}(v_2 x, v_4 x) = 3n_3.$$

对于任意边 $v_i x, v_j y \in E(G)$ ($x, y \in S, i, j \in \{2, 3, 4\}$ 且 $i \neq j$), 则 $d_{J(G)}(v_i x, v_j y) = 1$ 。因此

$$W_{13} = \sum_{\substack{i,j \in \{2,3,4\}, i \neq j \\ x,y \in S, x \neq y}} d_{J(G)}(v_i x, v_j y) = d_2 d_3 + d_2 d_4 + d_3 d_4 - (n_1^2 + n_2^2 + n_3^2).$$

对于任意边 $v_i x, v_i y \in E(G)$ ($x, y \in S, i \in \{2, 3, 4\}$), 则 $d_{J(G)}(v_i x, v_i y) = 2$ 。因此

$$W_{14} = \sum_{i \in \{2,3,4\}, x,y \in S} d_{J(G)}(v_2 x, v_4 y) = d_2^2 + d_3^2 + d_4^2 - (d_2 + d_3 + d_4).$$

综上所述:

$$\begin{aligned} W(M) &= W_{11} + W_{12} + W_{13} + W_{14} \\ &= d_2^2 + d_3^2 + d_4^2 + d_2 d_3 + d_2 d_4 + d_3 d_4 - (m-4) \\ &\quad - (n_1^2 + n_2^2 + n_3^2) + 2(n_1 + n_2) + 3n_3 \end{aligned}$$

因此

$$\begin{aligned} W(J(G)) &= d_2^2 + d_3^2 + d_4^2 + d_2 d_3 + d_2 d_4 + d_3 d_4 + 5(m-4) \\ &\quad - (n_1^2 + n_2^2 + n_3^2) + 2(n_1 + n_2) + 3n_3 + 10 \end{aligned}$$

2.4. 直径等于 4

由定理 2.1.2 知: 当 $\text{diam}(J(G))=4$, G 有三种结构形式 G_n, H_n 和 F_n , 如图 2 所示。

$$V(G_n) = \{u, v, w, x, y_1, \dots, y_{n-4}\}, E(G_n) = \{uv, uw, wx, xu\} \cup \{uy_i \mid 1 \leq i \leq n-4\}.$$

$$V(H_n) = \{u, v, w, x, y_1, \dots, y_{n-4}\}, E(H_n) = \{uv, uw, wx, xu, vx\} \cup \{uy_i \mid 1 \leq i \leq n-4\}.$$

$$V(F_n) = \{u, v, w, x, y_1, \dots, y_{n-4}\}, E(F_n) = \{uv, uw, wx, xu, vx, uw\} \cup \{uy_i \mid 1 \leq i \leq n-4\}.$$

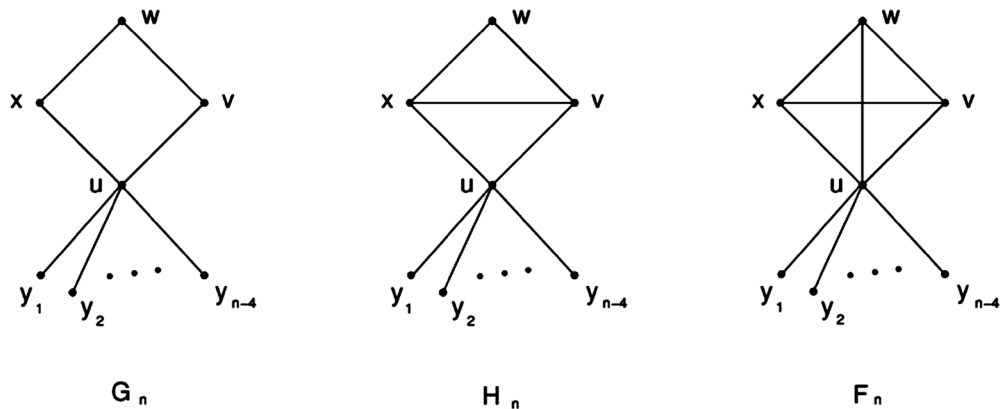


Figure 2. G_n, H_n and F_n

图 2. G_n, H_n 和 F_n

定理 2.4.1 对于一个点数为 n 的图 G , 如果 $\text{diam}(J(G))=3$, 则

$$W(J(G)) = \begin{cases} n^2 - 3n + 10, & \text{若 } G \cong G_n; \\ n^2 - 2n + 11, & \text{若 } G \cong H_n; \\ n^2 + 23, & \text{若 } G \cong F_n. \end{cases}$$

证明: 对于任意图 G , 如果 $G \cong G_n$, 则对于任意边 $uy_i, uy_j \in E(G)$ ($i, j \in \{1, 2, \dots, n-4\}$ 且 $i \neq j$), 有 $d_{J(G)}(uy_i, uy_j) = 2$ 。因此

$$W_{21} = \sum_{i, j \in \{1, 2, \dots, n-4\}} d_{J(G)}(uy_i, uy_j) = 2 \binom{n-4}{2} = n^2 - 9n + 20.$$

对于任意边 $uy_i, uv, ux \in E(G)$ ($i \in \{1, 2, \dots, n-4\}$), 则 $d_{J(G)}(uy_i, uv) = d_{J(G)}(uy_i, ux) = 2$ 。因此

$$W_{22} = \sum_{i \in \{1, 2, \dots, n-4\}} d_{J(G)}(uy_i, uv) + \sum_{i \in \{1, 2, \dots, n-4\}} d_{J(G)}(uy_i, ux) = 2 \times 2(n-4) = 4n - 16.$$

对于任意边 $uy_i, wv, wx \in E(G)$ ($i \in \{1, 2, \dots, n-4\}$), 显然 $d_{J(G)}(uy_i, wv) = d_{J(G)}(uy_i, wx) = 1$ 。因此

$$W_{23} = \sum_{i \in \{1, 2, \dots, n-4\}} d_{J(G)}(uy_i, wv) + \sum_{i \in \{1, 2, \dots, n-4\}} d_{J(G)}(uy_i, wx) = 2 \times (n-4) = 2n - 8.$$

同理, $d_{J(G)}(ux, xw) = d_{J(G)}(uv, vw) = 3$, $d_{J(G)}(ux, uv) = 4$, $d_{J(G)}(wv, wx) = 2$, $d_{J(G)}(wx, uv) = d_{J(G)}(ux, vw) = 1$ 。

综上所述:

$$\begin{aligned}
W(M) &= W_{21} + W_{22} + W_{23} + d_{J(G)}(ux, xw) + d_{J(G)}(uv, vw) + d_{J(G)}(ux, uv) \\
&\quad + d_{J(G)}(vw, wx) + d_{J(G)}(wx, uv) + d_{J(G)}(ux, vw) \\
&= n^2 - n + 20 + 4n - 16 + 2n - 8 + 2 \times 3 + 4 + 2 + 2 \times 1 \\
&= n^2 - 3n + 10
\end{aligned}$$

根据上面的方法我们得到, 若 $G \cong H_n$ 或 $G \cong F_n$, 有

$$W(J(G)) = \begin{cases} n^2 - 2n + 11, & \text{若 } G \cong H_n; \\ n^2 + 23, & \text{若 } G \cong F_n. \end{cases}$$

基金项目

国家自然科学基金青年科学基金(NO. 11801487)。

参考文献

- [1] Dobrynin, A.A., Entringer, R. and Gutman, I. (2001) Wiener Index of Trees: Theory and Applications. *Acta Applicandae Mathematicae*, **66**, 211-249. <https://doi.org/10.1023/A:1010767517079>
- [2] An, X. and Wu, B. (2007) Hamiltonicity of Complements of Middle Graphs. *Discrete Mathematics*, **307**, 1178-1184. <https://doi.org/10.1016/j.disc.2006.07.028>
- [3] Bondy, J.A. and Murty, U.S.R. (1976) Graph Theory with Applications. American Elsevier, New York, Macmillan, London. <https://doi.org/10.1007/978-1-349-03521-2>
- [4] Chen, X., Liu, J., Xie, D. and Meng, J. (2016) Edge Connectivity and Super Edge-Connectivity of Jump Graphs. *Information and Optimization Sciences*, **37**, 233-246. <https://doi.org/10.1080/02522667.2015.1103062>
- [5] Chartrand, G., Hevia, H., Jarrett, E.B. and Schultz, M. (1997) Subgraph Distances in Graphs Defined by Edge Transfers. *Discrete Mathematics*, **170**, 63-79. [https://doi.org/10.1016/0012-365X\(95\)00357-3](https://doi.org/10.1016/0012-365X(95)00357-3)
- [6] Gutman, I. and Körtvelyessy, T. (1995) Wiener Indices and Molecular Surfaces. *Zeitschrift für Naturforschung*, **50**, 669-671.
- [7] Knor, M., Skrekovski, R. and Tepeh, A. (2015) Mathematical Aspects of Wiener Index. *Graphs and Combinatorics*, **29**, 1403-1416.
- [8] Wu, B. and Meng, J. (2004) Hamiltonian Jump Graphs. *Discrete Mathematics*, **289**, 95-106. <https://doi.org/10.1016/j.disc.2004.09.003>
- [9] Wu, B. and Guo, X. (2001) Diameters of Jump Graphs and Self-Complementary Jump Graphs. *Graph Theory Notes of New York*, **40**, 31-34.
- [10] Wu, B., Liu, X. and Guo, X. (2008) Super-Connected and Hyper-Connected Jump Graphs. *International Journal of Computer Mathematics*, **85**, 1765-1769. <https://doi.org/10.1080/00207160701600069>



知网检索的两种方式:

1. 打开知网首页 <http://kns.cnki.net/kns/brief/result.aspx?dbPrefix=WWJD>
下拉列表框选择: [ISSN], 输入期刊 ISSN: 2324-7991, 即可查询
2. 打开知网首页 <http://cnki.net/>
左侧“国际文献总库”进入, 输入文章标题, 即可查询

投稿请点击: <http://www.hanspub.org/Submission.aspx>

期刊邮箱: aam@hanspub.org